

ZnO-Al₂O₃-SiO₂ 유리에서의 結晶成長에 관한 研究

李鍾根 · 李秉夏

漢陽大學校窯業工業科

(1975年 1月 14日 接受)

Studies on the Crystal Growth in ZnO-Al₂O₃-SiO₂ Glass

Chong-Keun Lee and Byung-Ha Lee

Department of Ceramic Engineering, Hanyang University

(Received Jan. 14, 1975)

ABSTRACT

The object of this study is to find the optimum conditions for crystal growth and kinds of crystal in ZnO-Al₂O₃-SiO₂ glass composition.

At first, the base glass composed of ZnO (44.7%), Al₂O₃ (14.0%) and SiO₂ (41.3%) was melted in propane gas furnace at 1450-1500°C for an hour, and then it was poured into the stainless steel mould heated previously at 600°C to obtain the thin glass test piece.

Four crystal forms from base glass such as stuffed keatite, zinc orthosilicate, zinc aluminosilicate, and cristobalite were crystallized during heat treatment between 800°C and 1100°C.

For the investigation of crystal growth, X-ray diffractometer and thermal differential analysis were used and the growth rate of the four crystal forms were obtained by the method of Archimedes specific gravity and intensity comparison of X-ray diffraction peak.

The results obtained were as follows.

- 1) Stuffed keatite peaks which started to appear after two hours at 800°C were maximum after 11 hours and this crystal breaks down to willemite irreversibly at about 1000°C.
- 2) Development of gahnite started at 850°C and increased with temperature growth.
- 3) Stuffed keatite which had been transformed slowly into willemite at 1000°C was decreased with time and willemite increased until four hours.
- 4) Cristobalite began to be developed after heat treatment of 1100°C.

I. 緒論

에 대한 理論的인 研究가 활발해지기 시작하였다.

1961年 “유리에서의 核生成과 結晶化”에 대한 Symposium이 있은 以後부터 유리에서의 核生成과 結晶化

Stookey¹⁾는 核生成의 요인을 包含하는 유리는 急冷 할 수도 있고 바라는 形態로 成形할 수도 있으며 이와 같은 유리는 有用한 性質을 갖인 微細粒子로 된 glass

ceramics 를 계속 熟處理한으로서 얻을 수 있다는 것을 발표하고 있으며 均一한 核生成의 基本機構에 對한 Hilling, Turnbull 等^{2~4)} 報告도 元來 結晶化유리의 一般的 特徵은 軟化點이 높고 耐酸性이며 機械的强度가 크고 膨脹이 적다는 것이다.

McMillan 등의 研究⁵⁾에서는 zinc alumino-silicate glass 로 부터 高強度의 結晶化 유리를 얻을 수 있다고 發表하였다.

本研究는 國產資源으로서 ZnO 系 結晶화 유리의 製造條件를 完明한 다음 特히 Stuffed keatite 의 結晶成長에 關한 最適條件를 求하고 gahnite 와 willemite 의 結晶生成에 對해 檢討하였다.

II. 實驗 方法

II-1) 原 料

本實驗에서 使用한 原料는 反應系를 可能한 限 單純化시킴으로써 일어지는 結果 解析을 용이하게 하기 위하여 酸化亞鉛, 酸化알루미늄은 特級試藥을 使用하고 硅石은 金泉產 硅石을 擇하여, 이를 粉碎하여 200 mesh 를 全通시켜 물로 洗滌乾燥하여 使用하였다.

II-2) Batch 調製

McMillan⁶⁾의 基本組成으로 發表한 Table I 과 같은組成의 batch 를 使用하였다. batch 的 量을 約 500 gr 으로 하여 agate mortar 로서 1 時間 동안 微粉末化시킨 후 V型 混合機에 넣어 充分히 混合하여 調製하였다.

Table. 1 Composition of the batch

ZnO	Al ₂ O ₃	SiO ₂
44.7%	14.0%	41.3%

II-3) 유리 熔融 및 試片製作

3 號 耐火粘土製 유리熔融用 도가니를 써서 propane-gas-furnace 에서 熔融하였다. 우선 도가니를 1400°C로 燃熱한 다음에 batch 를 2 回로 分割 投入하고 1450°C ~1500°C에서 1 시간 維持하여 完全熔融시킨 後 미리 약 600°C 까지 加熱시킨 50×50×2mm 의 金型에 注入하여 板狀으로 成形하였다. 이 試片은 매우 訊고 透明하였다.

II-4) 再加熱

Diamond cutter 로서 試驗試料를 10×15 mm 의 크기로 切斷하여 所定 크기의 유리試片을 白金도가니에 담아 電氣爐內 等溫帶에서 Beall의 實驗方法⁷⁾과 同一한 方法으로 再加熱시켰다. 即 stuffed keatite 核을生成시킬 目的으로 5°C/min 의 加熱速度로 700°C 까지 昇溫하여 3 時間 維持한 후 같은 加熱速度로 800°C

까지 昇溫시키고 그 溫度에서 1 時間까지 維持시킨 후 結晶成長을 멈추게 하기 為하여 空冷하였다. 같은 方法으로 900°C 와 1000°C 로도 處理하였다.

한편 維持時間은 1 時間으로 固定시킨 후 750°C에서 1000°C 까지 50°C 간격으로 溫度를 變化시켜 보았다.

II-5) 化學分析

化學分析은 韓國工業規格(KSL 2308)에 의거하여 行하였다.

II-6) 示差熱分析

日本 Shimatzu 社製 示差熱分析裝置를 使用하여 施行하였으며 그때의 條件은 다음과 같다. heating rate : 10°C/min. range ±50μv 標準試料 α-Al₂O₃, Pt-Pt Rh 热電對를 使用하여 chart speed 25min/h 로 1200°C 까지 行하였다.

II-7) 比重測定

再加熱시킨 試片 10個에 對하여 Archimedes 測定法으로 比重을 求하였다.

II-8) X線 回折 分析

日本 shimatzu 社製 diffractometer 를 使用하여 2θ = 10°~40°의 視野를 다음과 같은 條件으로 行하였다. Cu, K_a(Ni-filter) 30kv, 15mA, scanning speed : 1degree/min, full scale : 500 cps slit (O. S : 2.17min, R. S : 0.125min) chart speed 20min/min, 再加熱시킨 試片은 微粉碎하여 325 mesh 全通 비교물질 試料의 무게의 10%에 해당하는 calcite 를 넣어 agate-mortar に 充分히 混合시켜 使用하였다.

일어진 結果에서 stuffed-keatite 의 成長速度를 알기 為에 calcite 的 (104)面의 peak 的 area 를 1로 하여 stuffed-keatite 的 (201)面 peak area 的 比를 求하였다.

이것은 800°C에서만 行하였고 그의 溫度에서는 stuffed-keatite 的 (201)面과 willemite 的 (220)面의 peak 가 겹치므로 行하지 않았다.

III. 結果 및 考察

III-1) 유리의 構成

示差熱分析을 하여 본 結果 Fig. 1에서 나타난 바와 같이 750°C에서 結晶生成前에 일어나는 原子 ion 들間의 이원作用으로 생각되는 吸熱 peak 가 나타났으며, 870°C 와 1020°C, 1060°C, 1190°C에서 네 개의 發熱 peak 가 나타났는데 이것들은 X線 回折 分析에 依頼 stuffed-keatite (ZnO ZnO SiO₂), gahnite (Zn Al₂O₄), willemite (Zn₂SO₄), cristobalite (SiO₂)의 peak 를 推理된다.

III-2) ZnO-Al₂O₃-SiO₂ 유리에서의 結晶의 種類로 再

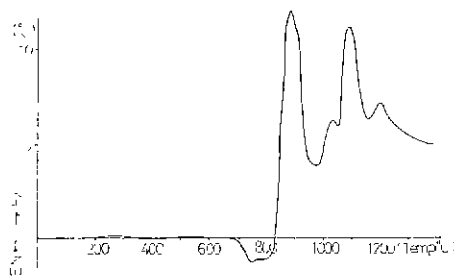


Fig. 1 D.T.A. Curve for base glass

加熱時 800°C에서 나타난 最初의 結晶은 X-線回折分析結果 (Fig. 2) stuffed-keatite type로 確認되었다. 多은 研究者들이 Li₂O나 MgO單獨 또는 複合으로서 이루어진 어떤 aluminasilicate system에서 이 stuffed keatite의 비슷한 性質의 結晶들에 對해 發表하였다^{7~10}. 이들 system에서는 AlO₄ tetra-hedra는 SiO₄ tetra-hedra로 대치되고 電氣的中性은 八面配位에 依해 생긴 틈으로 채워진 Li⁺ 또는 Mg²⁺들에 依해維持된다고 하였다. 또한 Beall⁶⁾ 등은 Al³⁺ 보다 Zn²⁺이 훨씬 더 많을 때는 Zn²⁺들이 四面體格內에 格子로 들어간다고 지적하였다. 本 유리內에서는 Al³⁺ 보다 Zn²⁺가 훨씬 더 많기 때문에 그들의 큰 배율이 tetra-hedral-network 위치에 있을 것으로 생각되었다. 이와 같이 zinc alumino silicate glass에서 나타나는 stuffed keatite 結晶은 아마 四面體나 八面體 어느쪽에 存在하거나 또는 둘다에 存在하는 작은 비율의 Al₂O₃로 된 ZnO-ZnO-SiO₂의 基本構造를 가진다는 가정이 可能하다. 또한 이 構造는 分解에 依해 結晶格子의 最小配列이 必要하기 때문에 zinc ortho silicate (Zn₂SiO₄) 즉 willemite로 바뀌어 진다고 Stanworth는 報告¹⁰하고 있는데 이것은 本 實驗에서도 잘 立證되었다. 또한 800°C에서 두 번째로 나타나는 結晶은 gahnite (Zn Al₂O₄)였고 그 後 1000°C에서 stuffed-keatite의 變形體인 willemite가 나타나기 시작했으며 그 後는 SiO₂가 cristobalite로 轉移되어 cristobalite peak가 나타났다.

III-3) 結晶成長速度

800°C에서 維持時間은 1時間에서 14時間까지 變化시켜 본 結果 透明한 試片은 維持時間이 2時間째부터 X-線回折圖에 stuffed keatite peak가 나오기 시작하여 維持時間이 길어지면서 peak의 強度가 커지다가 維持時間이 6時間이 되면서 gahnite (Zn Al₂O₄)의 生成을 보여 주는 peak가 나타나기始作함과 同時に

stuffed keatite peak는 維持時間 4時間째의 peak의 強度가 비슷하게 減少하였다. 이것은 gahnite의 生成으로 因한 內部構造의 變化로 생각된다. 그 後는 維持時間이 길어질에 따라 stuffed keatite peak와 gahnite peak의 強度가 커지다가 stuffed keatite peak의 強度는 11時間째에 가장 큰 增加를 보인 후 그 後는 별로 變化를 나타내지 않는다. 또한 850°C에서 1時間維持시킨것의 stuffed keatite peak는 800°C에서 4時間維持시킨 것과 비슷하며 gahnite peak는 800°C에서 7시간維持시킨 것과 비슷하였다 (Fig. 2). 이와 같은

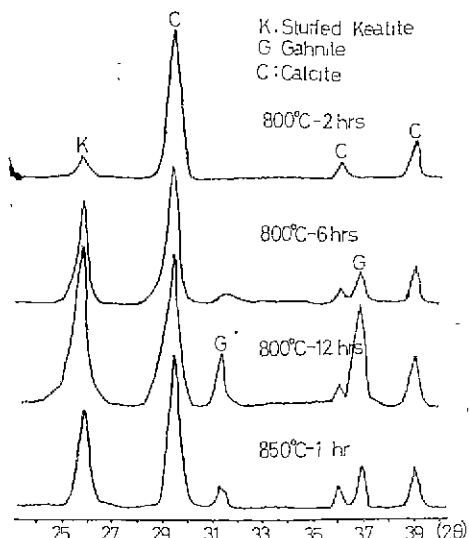


Fig. 2 X-Ray diffraction Patterns of the glass.

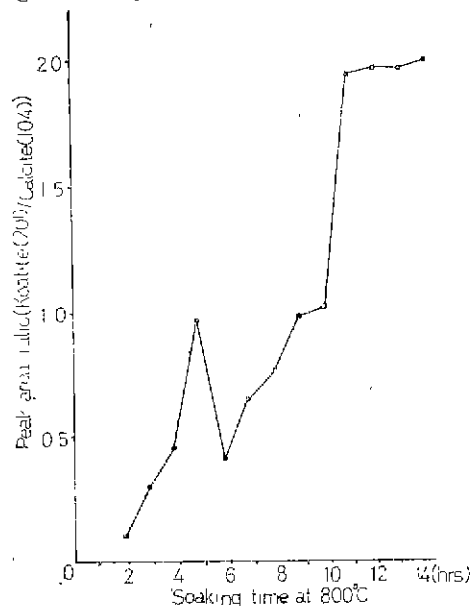


Fig. 3 Peak area ratio vs time.

X線回折圖에서 calcite(104)面 즉, $2\theta=29.4^\circ$ 의 peak area 와 stuffed keatite의 (201面) 즉 $2\theta=26^\circ$ 의 peak area 를 비교해 보면 (Fig. 3) stuffed keatite의 結晶成長을 투렷이 알 수 있다. 또한 800°C에서 維持時間變化에 따른 試片의 比重變化를 보면 (Fig. 4) 앞에서 求한 calcite (104)面 peak area에 對한 stuffed keatite (201)面의 比와 마찬가지로 維持時間이 6時間째에 gahnite 生成으로 생각되는 比重의 急激한 變化를 보이고 있으며 그 후는 계속 增加趨勢를 보이고 있는데 이것은 維持時間 11時間으로써 stuffed keatite 結晶은 거의 다 成長하게 되나 gahnite 말은 계속 成長을 하므로 그 構造가 慢慢 치밀하게 되어 결국 比重은 계속增加한 것이라고 생각된다.

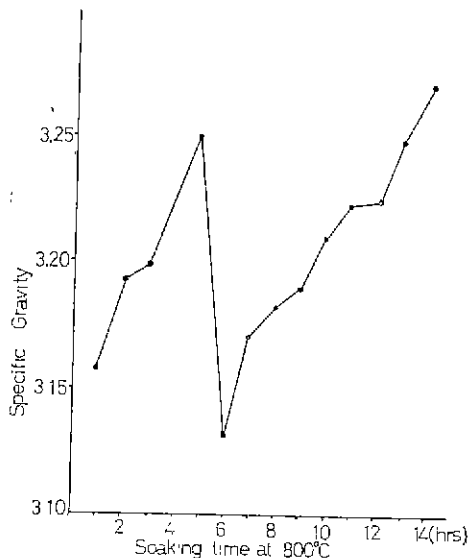


Fig. 4 Specific gravity of the glass.

또한 같은 方法으로 核을 生成시킨 후 900°C로 升溫시켜 維持時間を 1時間에서 13時間까지 變化시켜 본結果 試片을 800°C로 維持했을 때는 全體가 乳白色을 나타냈는데 900°C에서는 維持時間이 길어짐에 따라 表面만 절개 乳白色을 띠며 中心部는 透明하게 되어 皎다. X線回折分析 結果 900°C에서 1時間維持할 때 부터 서서히 tetragonal인 stuffed keatite가 trigonal인 willemite로 바꾸어 지는 傾向을 보였는데 이것은 11時間이 되면서 거의 確實히 알 수 있었다. 즉 Fig. 5에서 보듯이 $2\theta=26^\circ$ 부근에서 stuffed keatite (201)面의 peak 와 willemite (220)面의 peak 가 겹쳐 매우 크게 나타나다가 7時間째에 stuffed keatite (201)面 peak 的 分離흔적이 나타나기 시작해 13時間

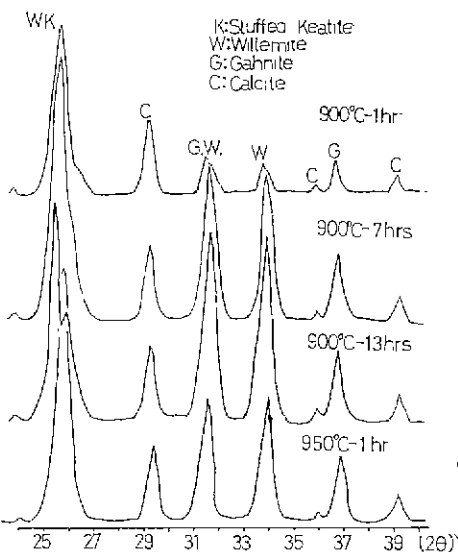


Fig. 5 X-Ray diffraction patterns of the glass.

제는 willemite(220)面의 peak 와 Stuffed keatite(201)面의 peak 가 確實하게 分離되면서 stuffed keatite peak 는 減少하며 willemite peak 는 維持時間이 길어짐에 따라 增加를 보여 주었다. 한편 gahnite peak의 強度는 維持時間が 길어짐에 따라 增加趨勢를 보이다가 維持時間 9時間부터는 별다른 增加가 없었다.

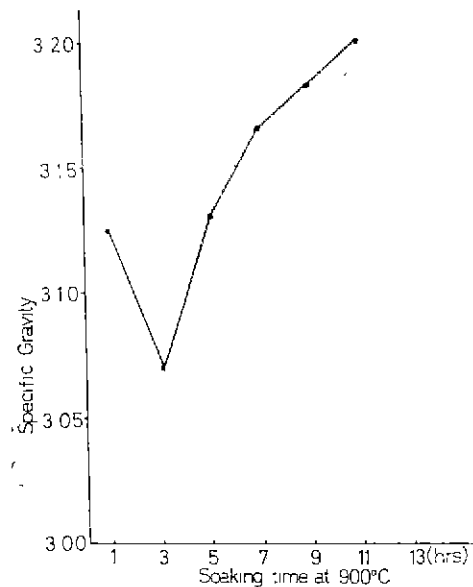


Fig. 6 Specific gravity of the glass.

比重의 變化를 Fig. 6에서 보듯이 維持時間 3時間 까지는 減少하여 維持時間 3時間에서 가장 낮은 比重을 가졌으며 그 후는 계속 增加하는 傾向을 보였지만 이 比重은 800°C에서의 時間變化에 따른 比重보다는 대체로 적었다. 이런 現象은 stuffed keatite가 willemite로 바뀌어 ी는 과정에 있기 때문인 것으로 생각된다.

950°C에서 1時間 維持시킨 試片의 X線回折分析은 $2\theta=26^\circ$ 에서 willemite peak와 stuffed keatite peak의 分離를 보여 주지 않았다.

그러나 willemite의 peak는 900°C에서 5時間 維持했을 때의 peak와 強度가 비슷했다. 1000°C에서 維持時間 1時間에서 5時間까지 變化시켜 본 結果 試片은 같은 乳白色으로 變하다가 維持時間 6時間부터 表面이 벗겨지는 傾向을 보여 6時間以後는 測定하지 않았다. 이들 試片을 가지고 X線回折分析을 한 結果 Fig. 7에서 보듯이 willemite peak의 強度는 900°C에서 보다 훨씬 커으며 $2\theta=26^\circ$ 에서의 stuffed keatite peak와 willemite peak의 分離는 維持時間 2時間以後부터 나타나기 시작하였다. 즉 이것은 900°C에서 13時間 維持한 것과 1000°C에서 2時間 維持한 것이 비슷하게 나타났다.

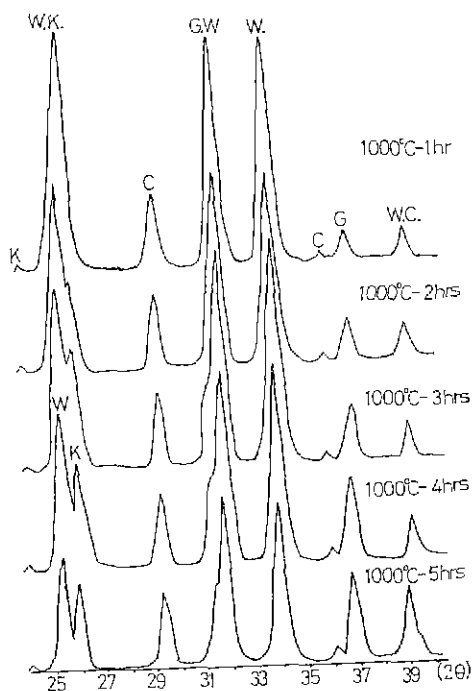


Fig. 7 X-Ray diffraction patterns of the glass.

stuffed keatite는 維持時間이 걸어짐에 따라 wille-

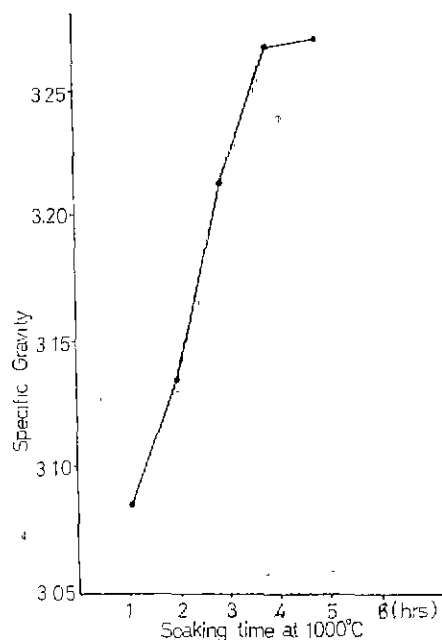


Fig. 8 Specific gravity of the glass.

mite로 바뀌면서 그 량이 줄어 들고 있으며 반면에 willemite는 계속 增加를 보이다가 維持時間 4時間以後부터 減少하기 始作하였다. 또한 이들 試片을 가지고 比重을 測定해 본 結果 Fig. 8에서 보듯이 維持時間 4時間까지는 계속 成長을 보이다가 그 후는 別로 變化가 없는 것으로 보아 Fig. 7에서 나타난 各結晶 peak의 減少와 잘一致되었다. 1000°C에서 1시간 維持한 比重이 900°C에서 3시간 維持한 比重보다 약간 크며 그 후 增加는 900°C에서 3시간 이후의

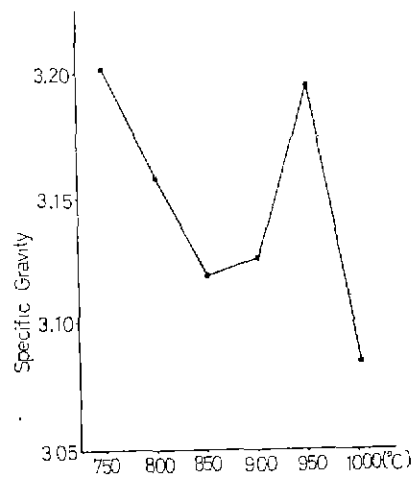


Fig. 9 Specific gravity of the glass.

增加와一致되었으며 1000°C에서 4시간維持한試片의比重과 800°C에서 13시간維持한比重이 거의 같은 것으로 보아比重面에서 볼 때 McMillan의 stuffed keatite가強度에 크게 기여한다고發表한 것과 어느정도類似한結果를 나타냈다.

維持時間은 1시간으로固定한 후 750°C에서 1000°C까지溫度 변화에 따른比重의變化를 Fig. 9에서 보면 850°C까지는계속減少를 보이는데 이것은 stuffed keatite와 gahnite生成으로 생각되며 그후 950°C까지의增加는 이를結晶의成長으로 그構造가 어느정도 치밀하게 되었다는에 있으며 950°C以後 다시 나타난減少는 stuffed keatite가 willemite로 바뀌어져 가는데 그原因이 있다고 생각된다.

IV. 結論

Zinc aluminosilicate glass에서의結晶化過程은 매우復雜하다. 그러나 800°C에서 이를 유리에 나타나는 첫번째結晶相은 stuffed keatite結晶인데 이結晶成長은 X線回折分析과比重測定結果에 따르면 800°C에서 11시간維持했을 때가 가장 좋은 것 같다.

한편 이 stuffed keatite結晶은 1000°C範圍의溫度에서 zinc ortho silicate 즉 willemite로分解한다. 이 willemite結晶은 1000°C에서維持했을 때가 가장 큰成長을 보인다. 또한 gahnite結晶은 850°C에서 나타나기 시작하지만別로 큰增加가 없이溫度가上昇됨에 따라 약간씩增加한다.

REFERENCE

1. S. D. Stookey, Corning Glass Works, U.S. Patent 2,920,971 January 12, (1960)
2. W. B. Hillig and D. Turnbull, "Theory of crystal growth in undercooled pure liquids. J. Chem.

- Phys.* 24, 914-919(1956).
3. R. D. Maurer, "Crystal nucleation in a glass containing titanite" Symposium on Nucleation and Crystallization in Glass and Metals Ceramic Society, Inc., Columbus, Ohio, 97(1962).
 4. W. Vogel and K. Gerth, "Catalyzed Crystn in glass" Symposium on Nucleation and Crystallization in Glass and Metals American Ceramic Society, Inc., Columbus, Ohio, 11(1962).
 5. P. W. McMillan, G. Partridge and J. G. Darrant "Crystal growth studies in ZnO-Al₂O₃-SiO₂ glasses." *Phys. and Chem. of Glasses*, 10(4), 153-158 (1969).
 6. G. H. Beall, B. R. Karstetter and H. L. Rittler, "Crystallization and Chemical Strengthening of stuffed β -quartz glass-ceramics" *J. Am. Ceram. Soc.*, 50(4), 181-189(1967).
 7. J. H. Welch and W. Gutt, "Tricalcium silicate and its stability within the system CaO-SiO₂" *J. Am. Ceram. Soc.*, 42(1), 11-18(1959).
 8. M. Buerger, "The stuffed derivatives of the silica structure" *J. Am. Miner.*, 39(7-8), 600-614 (1954).
 9. R. Roy and E. F. Osborn "The system lithium metasilicate-spodumenesilica" *J. Am. Chem. Soc.*, 71(6), 2087-2095(1949).
 10. M. Buerger, J. K. Gilbert and H. Garbrielle, "The structure of nepheline" *Am. Mineral.*, 32, 197-209(1947).
 11. J. E. Stanworth, "Physical Properties of Glass" Clarendon Press, Oxford, 215-224(1953).